

## ОПТИКА СЛУЧАЙНО-НЕОДНОРОДНЫХ СРЕД

УДК 621.378.33

Н.Н. Бочарев<sup>1</sup>, А.А. Землянов<sup>1</sup>, Ал.А. Землянов<sup>2</sup>, А.М. Кабанов<sup>1</sup>,  
Д.В. Карташов<sup>3</sup>, А.В. Кирсанов<sup>3</sup>, Г.Г. Матвиенко<sup>1</sup>, А.Н. Степанов<sup>3</sup>

# Экспериментальное исследование взаимодействия фемтосекундных лазерных импульсов с аэрозолем

<sup>1</sup> Институт оптики атмосферы СО РАН,

<sup>2</sup> Сибирский физико-технический институт, г. Томск

<sup>3</sup> Институт прикладной физики РАН, г. Нижний Новгород

Поступила в редакцию 9.11.2004 г.

Представлены результаты экспериментальных исследований взаимодействия лазерных импульсов фемтосекундной длительности с различным по составу жидкокапельным аэрозолем, а также с одиночными частицами. Оптическим и акустическим методами исследовались затухание энергии фемтосекундных импульсов при прохождении ими аэрозольного слоя, а также энергетические потери образовавшегося при различных фокусировках филамента. Экспериментально установлено, что нелинейное взаимодействие с атмосферным аэрозолем существенно не влияет на энергетические характеристики излучения.

Изучение нелинейно-оптических эффектов, возникающих при распространении в аэрозоле лазерных импульсов с интенсивностью, достижимой при сверхкоротких длительностях импульса, а также исследование распространения фемтосекундных лазерных импульсов при реализации филаментации как в газовой атмосфере, так и при ее аэрозольном заполнении имеет важное значение для задач транспортировки лазерной энергии через атмосферную толщу и для зондирования атмосферы.

Нами были проведены экспериментальные исследования взаимодействия лазерных импульсов фемто- и наносекундной длительности с модельными аэрозольными средами и отдельными частицами. Источник лазерных импульсов — Ti:Sa-лазер, генерирующий импульсы с длиной волны  $\lambda = 0,8 \text{ мкм}$ , длительностью импульса  $t_{\text{п}} = 80 \text{ фс}$  и  $9 \text{ нс}$  при энергии в импульсе  $< 17 \text{ мДж}$ . Ширина спектра излучения для фемто- и наносекундных импульсов на полувысоте  $\sim 25 \text{ нм}$ . Распределение интенсивности по сечению пучка близко к гауссову, диаметр пучка на уровне  $0,135I_{\text{max}}$  составляет 8 мм. Аэрозольная среда с частицами радиусом  $r = 2,5 \text{ мкм}$ , протяженностью 1,3 см, концентрацией частиц  $N < 10^7 \text{ см}^{-3}$ .

Для моделирования аэрозольных сред дисперсировалась чистая вода и вода с включениями наночастиц серебра. Наночастицы использовались для увеличения поглощающих свойств аэрозоля, чтобы оценить различия в энергетических потерях фемто- и наносекундных импульсов при их прохождении через аэрозольную среду. Для измерения данных потерь использовались два канала регистрации — оптический и акустический. С помощью оптическо-

го канала измерялось ослабление излучения в аэрозольной среде. Измерения акустического отклика позволяли оценить энергетические потери излучения в аэрозоле за счет диссипации энергии излучения в тепловую при ее поглощении веществом аэрозольных частиц.

Акустическая часть установки включала два канала регистрации, калиброванных по звуковому давлению, с линейным частотным диапазоном 2–100 кГц. Регистрация оптических и акустических сигналов осуществлялась цифровыми осциллографами Tetronix и Infinium. При исследованиях филамента использовалось фокусирующее зеркало с фокусным расстоянием  $f$ , равным 120 или 86,5 см. При исследовании взаимодействия нефокусированных лазерных импульсов с аэрозольной средой вместо фокусирующего зеркала использовалась поворотная пластина. Блок-схема экспериментальной установки представлена на рис. 1.

Пропускание аэрозольного слоя измерялось на двух длинах волн: действующего, мощного лазерного импульса с  $\lambda = 0,8 \text{ мкм}$  и зондирующего непрерывного излучения Не–Не-лазера с  $\lambda = 0,63 \text{ мкм}$ . Зондирующее маломощное излучение, для которого заведомо не реализуются нелинейные эффекты, требовалось для контроля концентрации частиц  $N$  в аэрозольной среде для каждого пуска Ti:Sa-лазера.

Пропускание фемто- и наносекундных импульсов рассчитывалось по измерениям прошедшего аэрозольный слой импульса и опорного сигнала, показания которого калибровались по измерениям энергии импульса с помощью ИМО-2М для каждой серии измерений.

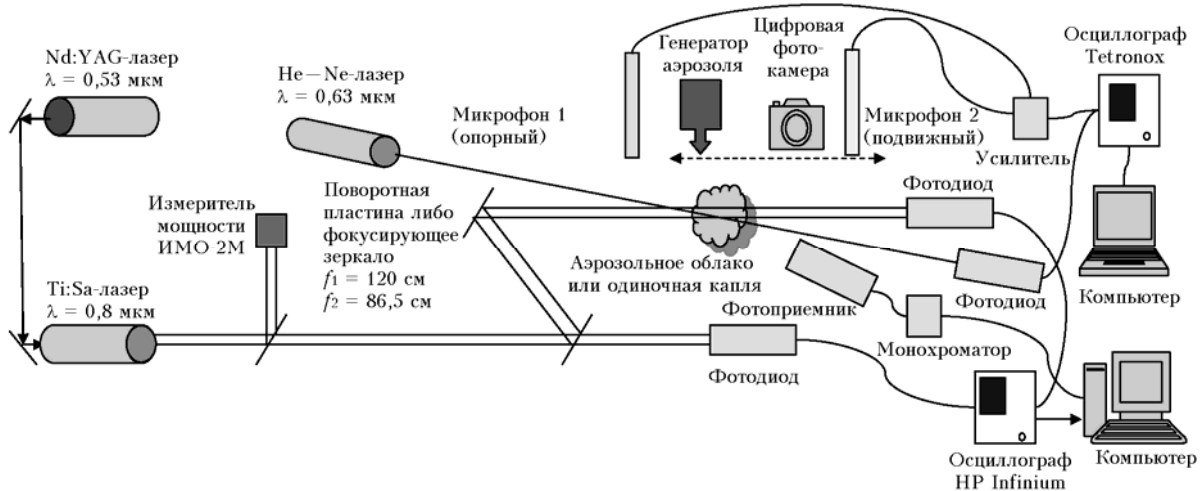


Рис. 1

Результаты измерений представлены на рис. 2. Видно, что как для непрерывного зондирующего излучения с  $\lambda = 0,63 \text{ мкм}$ , так и для импульсного интенсивного излучения с  $\lambda = 0,8 \text{ мкм}$  пропускание соответствует закону Бугера, хотя для импульсного излучения экспериментальные значения лежат несколько ниже расчетной кривой, что, возможно, соответствует увеличению ослабления за счет реализации в аэрозоле эффектов многофотонного поглощения.

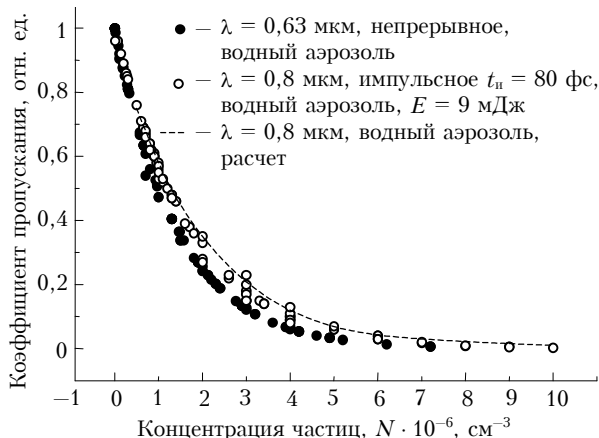


Рис. 2. Зависимость пропускания аэрозольного слоя от концентрации частиц

Измерение акустического отклика позволяло, в случае реализации нелинейно-оптических эффектов при взаимодействии излучения с веществом, контролировать, хотя и косвенно, энергетику излучения, в том числе при филаментации пучка.

Специальные меры звукоизоляции измерительных микрофонов от внешнего акустического шума (работающая установка), достигавшего звуковых давлений  $\sim 0,025 \text{ Па}$ , не применялись. Поэтому при обработке малых акустических откликов со звуковыми давлениями до  $\sim 0,001 \text{ Па}$  использовалось разработанное авторами программное обеспечение «Атмосферная оптоакустика» [1], содержащее расширенный инструментарий для оптимальной обработки оптоакусти-

ческих цифровых данных, а именно для компенсации частотных и фазовых искажений каналов регистрации, оптимальной полосовой фильтрации полезных сигналов на фоне внешних акустических шумов и аппаратурных помех и компенсации нелинейных, дифракционных и диссипативных искажений регистрируемых оптоакустических сигналов, исходя из конкретных условий проведения эксперимента.

Измерения акустического отклика от филамента на различных расстояниях  $R$  от фокуса зеркала показали, что при фокусировке зеркалами с фокусными расстояниями  $f = 86,5$  и  $120 \text{ см}$  для  $R = 0,1 \div 4,2 \text{ м}$  наблюдается существенное «угасание» филамента (рис. 3).

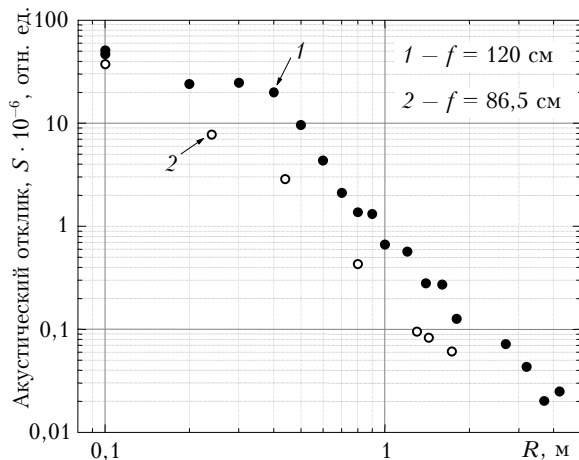


Рис. 3. Продольная зависимость интегрального акустического отклика, генерируемого каналом распространения лазерного излучения фемтосекундной длительности. Расстояние от микрофона до филамента –  $1,5 \text{ см}$

Приемный микрофон опорного акустического сигнала (микрофон 1) находился на расстоянии  $0,5 \text{ м}$  от фокуса зеркала. Микрофон 2 перемещался вдоль оптической оси фемтосекундного лазерного излучения от фокуса до расстояния  $4,2 \text{ м}$  от него. Микрофоны были удалены от оптической оси излучения на  $1,5 \text{ см}$ . Максимум частотного акустическо-

го спектра филамента изменялся в диапазоне 38–65 кГц, а пиковое звуковое давление – в диапазоне примерно  $10^{-3}$ –5 Па. Для увеличения отношения сигнал-шум исходные данные фильтровались в диапазоне 10–250 кГц и дополнительно усреднялись по сериям из 64 импульсов. Среднее значение энергии фемтосекундного импульса для зависимостей на рис. 3 составило 12 мДж. Величина  $S$  на рис. 3 представляет собой интеграл от модуля акустического давления за период генерируемого акустического отклика.

Рис. 3 показывает, что на небольшом расстоянии от фокуса  $R$  филамент теряет энергию на порядки. Под энергией филамента в данном случае понимается та часть его энергии, которая формирует слабоионизованную плазму и затем диссирирует в тепловую энергию среды за счет рекомбинации электронов и ионов. Акустический сигнал, таким образом, фиксирует тепловые потери лазерного излучения, связанные с филаментацией пучка.

Зафиксированное уменьшение акустического отклика свидетельствует о том, что за фокусом филамент, как самоподдерживающееся образование, уже не существует. Расходящийся пучок не подпитывает филамент энергией, достаточной для баланса двух эффектов – нелинейности Керра для его фокусировки и образования плазмы для дефокусировки. Таким образом, в эксперименте, скорее всего, наблюдается распад сформированного еще в фокусе, филамента. Это же подтверждают и результаты сравнения потерь энергии при различных фокусировках. При менее жесткой фокусировке на расстоянии 0,4 м от фокуса филамент еще существует как стабильное образование, но затем происходит резкое уменьшение его энергоемкости. Подобная тенденция резкого уменьшения возбуждения среды за фокусом была зарегистрирована в [2] по измерениям степени ионизации канала распространения сфокусированного лазерного излучения фемтосекундной длительности.

Из рис. 4 видно, что регистрация акустического сигнала вдоль распространения лазерного излучения позволяет восстанавливать геометрический размер области с повышенной ионизацией.

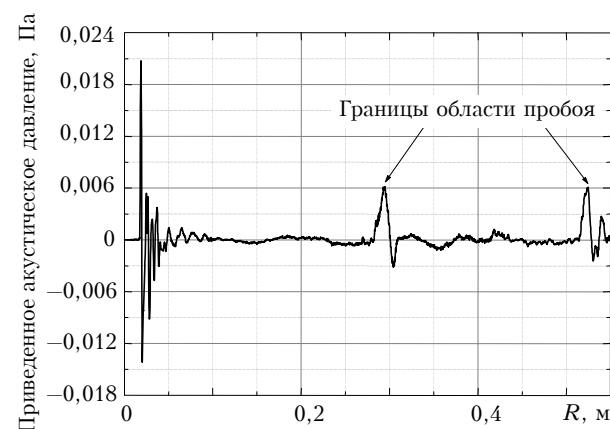


Рис. 4. Акустическое давление приведено к расстоянию 1 м,  $P_{\text{пр}} = P_{\text{изм}}R$ . Микрофон на удалении 1,5 см от пучка лазерного излучения

Первый импульс соответствует сигналу, принимаемому от лазерного пучка в момент его прохождения в непосредственной близости (1,5 см) от микрофона. Второй и третий сигналы – границы зоны повышенной ионизации после фокуса и до фокуса. Так, для случая, представленного на рис. 4, данная область составляет 23 см.

На рис. 5 приведены зависимости пикового давления в акустическом сигнале от коэффициента пропускания аэрозольной среды на длине волны зондирующего излучения.

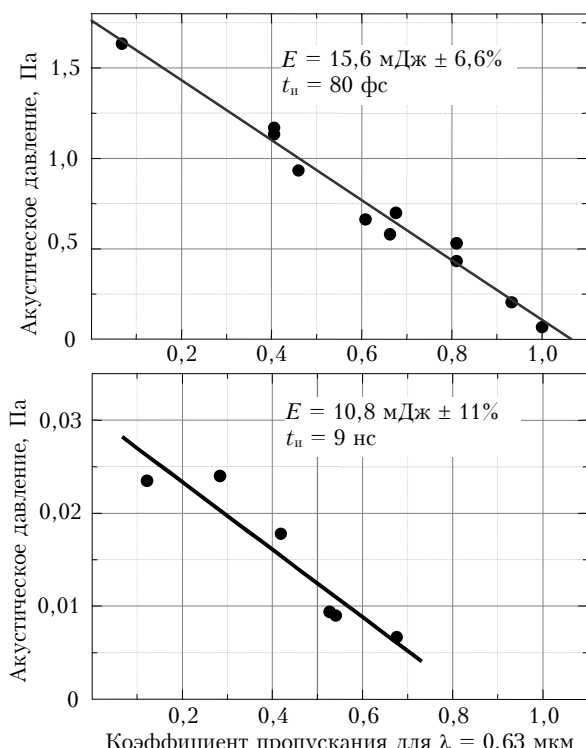


Рис. 5. Зависимость пикового акустического давления, генерируемого водным аэрозолем с наночастицами, от коэффициента пропускания. Расстояние от микрофона до аэрозольной среды – 5 см.  $E$  – энергия лазерного импульса

Интересно, что при переходе от фемтосекундного импульса к наносекундному, при сохранении энергетики импульса, наблюдается уменьшение амплитуды акустического отклика на два порядка. Возможны два сценария. Первый – поскольку воздействие отличается лишь интенсивностью (но на 5 порядков!), для фемтосекундного режима реализуется многофотонное поглощение в веществе аэрозольных частиц. Второй – для фемтосекундного режима можно пренебречь оттоком тепла от наночастиц серебра, внедренных в частицу аэрозоля, и тогда в локальных областях капли реализуются режимы перегрева и взрывного вскипания жидкости, акустический отклик которых выше, чем для случая теплового и испарительного механизмов генерации акустического отклика. Однако интерпретация полученного результата с использованием того или другого механизма требует детальной

оценки. К тому же данные механизмы не являются взаимоисключающими.

Еще один цикл исследований был связан с изучением люминесценции подвешенной на капилляре капли с красителем (родамин 6Ж) при двухфотонном поглощении импульсов фемтосекундной длительности на длине волны 0,8 мкм.

Спектр двухфотонно-возбужденной люминесценции красителя в капле регистрировался с помощью монохроматора и CCD-камеры. Дисперсия монохроматора с решеткой 1200 штр./мм составляла 2,4 нм/мм. Типичные спектрограммы, полученные для разных величин энергии возбуждения, представлены на рис. 6. Вертикальный размер изображения на рис. 6 соответствует размеру капли (2 мм), горизонтальный – распределению по спектру (приблизительно 45 нм), середина спектральной картины – 580 нм.

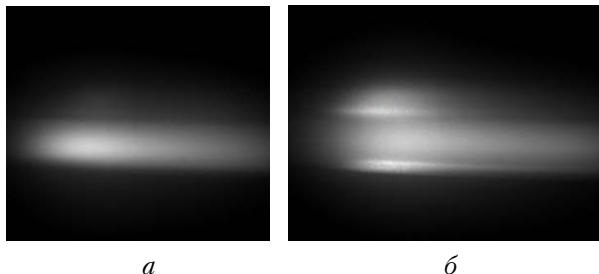


Рис. 6. Спектрограммы люминесценции капли с красителем при возбуждении лазерным импульсом фемтосекундной длительности

Сравнивая спектрограммы, полученные при различных энергиях возбуждающего излучения (спектрограмма *a* на рис. 6 соответствует энергии возбуждения 7,3 мДж, *б* – 16,5 мДж), можно видеть существенную пространственно-спектральную неоднородность свечения разных участков капли. А именно: при больших накачках спектрально ярче светятся зоны, соответствующие верхней и нижней границам капли.

Спектры свечения различных участков капли приведены на рис. 7. При этом ряд 1 соответствует верхней области капли, ряд 2 – центральной части капли на рис. 6, б. Если спектр свечения центральной части представляет собой типичный спектр спонтанной двухфотонно-возбужденной люминесценции родамина 6Ж, то спектр свечения верхней части существенно уже и смешен в коротковолновую область.

Поскольку границы капли являются границами шепчущей галереи, то возможное объяснение наблюдавшихся пространственно-спектральных отличий связано с процессами, происходящими в этой зоне, в которой, как известно, несколько повышена плотность мощности возбуждающего излучения. Верхняя часть спектрограммы соответствует месту соединения капли с капилляром, т.е. там происходят разрыв квазисферической поверхности капли и, соответственно, нарушение полного внутреннего отражения для соответствующих лучей. Нижняя

часть характеризуется другой степенью сферичности по сравнению с центральной частью капли.

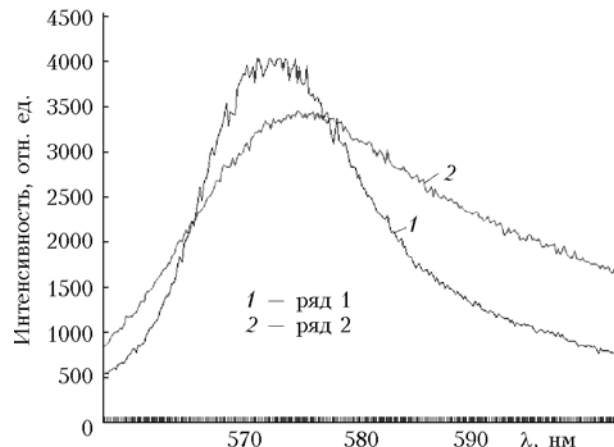


Рис. 7. Спектр люминесценции капли с красителем при возбуждении лазерным импульсом фемтосекундной длительности. Энергия в импульсе 16,5 мДж

Таким образом, в верхней и нижней частях капли нарушаются условия полного внутреннего отражения для лучей, распространяющихся прежде в центральной части под углами полного внутреннего отражения к поверхности капли. Тогда излучение из верхней и нижней частей капли содержит большую долю лучей из зоны шепчущей галереи (т.е. зоны с повышенной плотностью мощности накачки), чем свечение всего объема капли. Подобные спектральные отличия наблюдались нами ранее при однофотонном возбуждении красителей наносекундными импульсами в условиях насыщения поглощения [3].

На основе проведенного цикла экспериментальных исследований можно сделать следующие выводы.

Прозрачность водного аэрозоля при распространении в нем лазерных импульсов фемтосекундной длительности, измеренная на длине волны зондирующего непрерывного излучения, не изменяется. Соответственно не изменяется микроструктура аэрозоля, а следовательно, не реализуются тепловые эффекты испарения и взрывного вскипания вещества аэрозольных частиц. При реализации оптического пробоя в аэрозоле, зафиксированного в ряде случаев акустическим методом, оптическая толщина тумана также не меняется. Это свидетельствует о том, что очаги пробоя формируются внутри небольшого количества аэрозольных частиц и, не имея подпитки энергией от короткого лазерного импульса, не развиваются.

Акустический отклик взаимодействия фемтосекундного импульса с аэрозольной средой, при добавлении в диспергируемую воду наночастиц серебра, на два порядка превышает отклик взаимодействия наносекундного импульса такой же энергетики, с той же средой. Это указывает на дополнительные энергетические потери лазерной энергии при ее распространении через аэрозольную среду в формате фемтосекундного импульса. Данные по-

тери не превышают нескольких процентов, что соответствует и оптическим измерениям.

Измерения акустического отклика распространения филамента, сформированного при фокусировке лазерного излучения, указывают на то, что филамент существует как саморегулирующаяся форма лишь вблизи фокуса.

Измерения акустического сигнала в открытом объеме являются эффективным инструментом при исследовании взаимодействия лазерных импульсов фемтосекундной длительности с аэрозольными средами и при изучении распространения филамента в аэрозольных и газовых средах. Метод позволяет восстанавливать энергетические свойства фемтосекундированного лазерного излучения, геометрические размеры филамента, пропускание аэрозольного слоя для лазерного импульса фемтосекундной длительности как для случая реализации филаментации пучка, так и без него.

*N.N. Bochkarev, A.A. Zemlyanov, Al.A. Zemlyanov, A.M. Kabanov, D.V. Kartashov, A.V. Kirsanov, G.G. Matvienko, A.N. Stepanov. Experimental investigation of the interaction of femtosecond laser pulses with aerosol.*

The interaction of femtosecond laser pulses with various-composition (aqueous, with dye solution and nanoparticles) aerosol, as well as with individual particles in the case of two-photon induced fluorescence excited in them has been investigated experimentally. An acoustic method was applied to study the decay of energy of a filament formed at different focusing and the transmission of the filament energy as the filament passes through an aerosol layer.

Работа выполнена при финансовой поддержке РФФИ (гранты № 02-05-65180, 03-05-64431, 03-05-64228), Программы 2.9 Отделения физических наук РАН, Программы Президиума РАН «Фемтосекундная атмосферная оптика», Программы № 12 Президиума СО РАН.

1. Бочкарёв Н.Н., Кабанов А.М., Погодаев В.А. Оптоакустика канала распространения мощного импульсного лазерного излучения в атмосфере // Оптика атмосф. и океана. 2003. Т. 16. № 9. С. 816–821.
2. Tzortzakis S., Lamoureaux B., Chiron A., Franko M., Prade B., Mysyrowicz A. Nonlinear propagation of subpicosecond ultraviolet laser pulses in air // Opt. Lett. 2000. V. 25. N 17. P. 1270–1272.
3. Донченко В.А., Землянов А.А., Землянов Ал.А., Киткин П.П., Копылова Т.Н. Спектры флуоресценции в жидких частицах с красителем при интенсивной лазерной накачке // Оптика атмосф. и океана. 1999. Т. 12. № 1. С. 36–38.